

Visão Por Computador

Trabalho 7

Christophe Oliveira nº2011154912
Noé Godinho nº 2011159459

4 de Junho de 2015

Conteúdo

Introdução	3
Alínea 1	3
1.1 Alínea 1.1	3
1.2 Alínea 1.2	4
1.3 Alínea 1.3	8
Alínea 3	11

Introdução

Neste trabalho pretende-se aplicar os conceitos de homografias induzidas por planos.

Será necessário criar uma malha quadrada, aplicar transformações de coordenadas, representá-las e estimar as homografias nas imagens.

Alínea 1

Nesta alínea é necessário representar uma malha quadrada, de tamanho 21x21, em que os pontos tem coordenadas de (-10, -10) até (10, 10), passando por todos os pontos possíveis e, em seguida, aplicar umas transformações de coordenadas na malha criada.

1.1 Alínea 1.1

De maneira a ser possível representar a malha de pontos quadrada, existem duas opções:

- Inserir os pontos manualmente;
- Usar uma função do *Matlab* que cria uma malha automaticamente.

Assim, usamos a função que, passando como parâmetro o *range* que queremos, neste caso, -10 e 10, retorna 2 *arrays* com os valores pretendidos. Depois, só é necessário inserir na matriz.

<pre>[p, q] = meshgrid(-10:10); mesh_points = [p(:) q(:)];</pre>
--

Uma vez criada a malha, foi possível obter a seguinte representação:

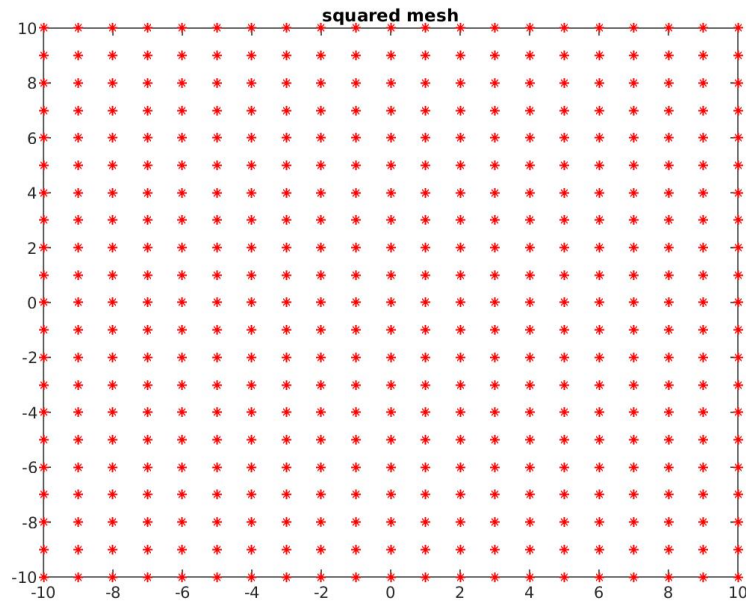


Figura 1: Malha de pontos quadrada

1.2 Alínea 1.2

Uma vez calculada a malha original, foram calculadas as transformações de coordenadas segundo as seguintes equações:

$$\begin{cases} x' = 2 + 3x^2 + 5y^2 \\ y' = 5 + \frac{1}{2}x^2 + 3y^2 \end{cases} \quad (1)$$

$$\begin{cases} x' = 2 + 3e^{-x} + 5e^{-y} \\ y' = \frac{1}{3} + 2e^{-2x} + 3e^{-\frac{y}{2}} \end{cases} \quad (2)$$

$$\begin{cases} x' = x^2 + y^3 \\ y' = \cos(x) + \sin(y) \end{cases} \quad (3)$$

Uma vez calculadas as transformações, obtivemos as seguintes malhas:

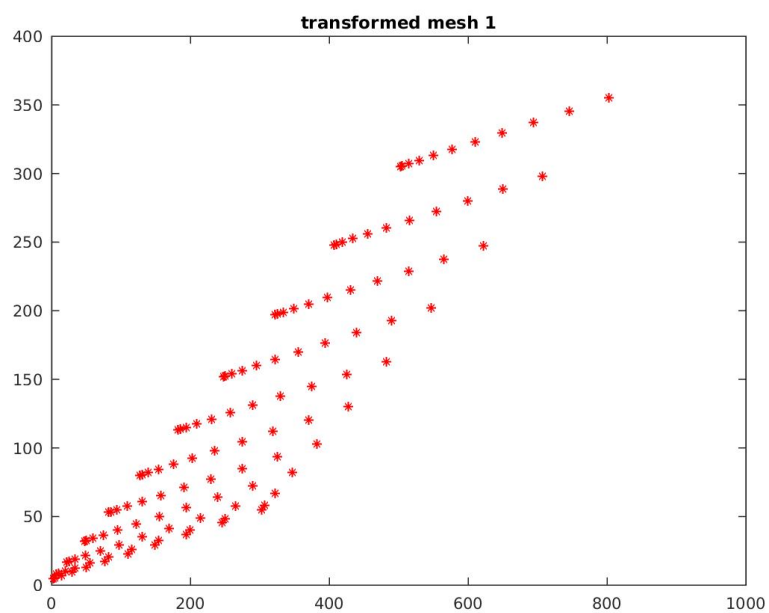


Figura 2: Malha de pontos transformada pela equação 1

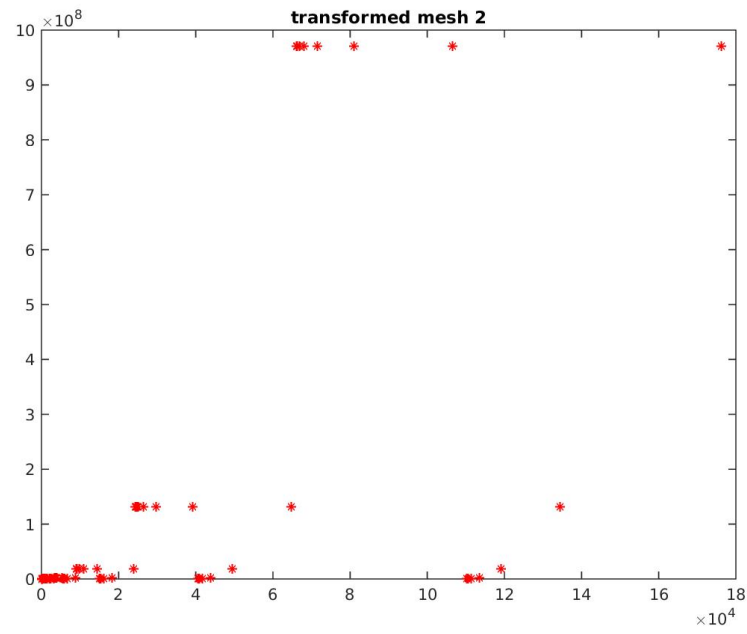


Figura 3: Malha de pontos transformada pela equação 2

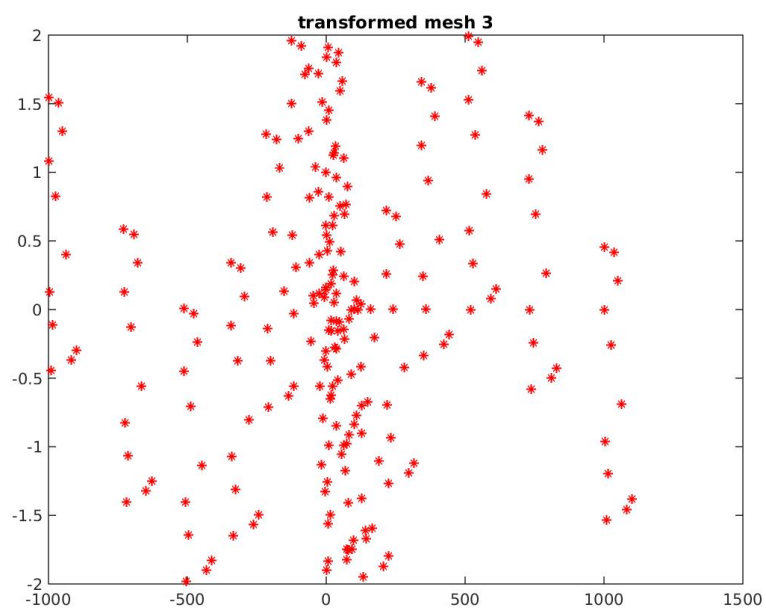


Figura 4: Malha de pontos transformada pela equação 3

1.3 Alínea 1.3

Nesta alínea foi nos proposto o cálculo das homografias entre os mapeamentos e as respetivas malhas. Para isso considerámos $pi = (x_i, y_i, w_i)^T$ como sendo a nossa malha quadrada e $p'i = (x'_i, y'_i, w'_i)^T$ como sendo os pontos mapeados na alínea anterior e o nosso principal problema será calcular a transformação H que mapeia cada ponto pi para pi' . Este mapeamento pode ser descrito da seguinte forma:

$$\begin{bmatrix} x'_i \\ y'_i \\ w'_i \end{bmatrix} = \begin{bmatrix} h_{11} & h_{12} & h_{13} \\ h_{21} & h_{22} & h_{23} \\ h_{31} & h_{32} & h_{33} \end{bmatrix} \begin{bmatrix} x_i \\ y_i \\ w_i \end{bmatrix}$$

ou $p'_i = Hp_i$, em que H é uma matriz 3×3 .

Os pontos 2D são expressos em coordenadas homogêneas, ou seja, p'_i e Hp_i representem o mesmo ponto no plano 2D, mas analisando estes do ponto vista 3D, eles já não o são podem ter um fator de escala associado. Então, para coordenadas heterogêneas teremos $(x'_i = x'_i/w'_i$ e $y'_i = y'_i/w'_i)$ ficando assim:

$$x'_2 = \frac{H_{11}x_1 + H_{12}y_1 + H_{13}w_1}{H_{31}x_1 + H_{32}y_1 + H_{33}w_1}$$

$$y'_2 = \frac{H_{21}x_1 + H_{22}y_1 + H_{23}w_1}{H_{31}x_1 + H_{32}y_1 + H_{33}w_1}$$

Sem perda de generalidade, podemos agora assumir que w é 1, ficando assim:

$$x'_2(H_{31}x_1 + H_{32}y_1 + H_{33}) = H_{11}x_1 + H_{12}y_1 + H_{13}$$

$$y'_2(H_{31}x_1 + H_{32}y_1 + H_{33}) = H_{21}x_1 + H_{22}y_1 + H_{23}$$

Chegando aqui, foi necessário resolver as equações em ordem a H e reajustando as equações acima obtemos:

$$a_x^T h = 0$$

$$a_y^T h = 0$$

onde:

$$h = (H_{11}, H_{12}, H_{13}, H_{21}, H_{22}, H_{23}, H_{31}, H_{32}, H_{33})^T$$

$$a_x = (-x_1, -y_1, -1, 0, 0, 0, x'_2x_1, x'_2y_1, x'_2)^T$$

$$a_y = (0, 0, 0, -x_1, -y_1, -1, y'_2x_1, y'_2y_1, y'_2)^T$$

Fazendo isto para todos os pontos obtemos a matriz A , construída da seguinte forma:

$$A = \begin{bmatrix} a_{x1}^T \\ a_{y1}^T \\ \cdot \\ \cdot \\ \cdot \\ a_{xN}^T \\ a_{yN}^T \end{bmatrix}$$

Para a construção da matriz H, tivemos de decompor a matriz A em valores singulares e retirar o vetor singular da direita da matriz V, que contém o valor singular mais pequeno, σ_9 .

Prosseguindo todos estes passos, as homografias obtidas para cada uma das transformações foram as seguintes:

Transformação A:

$$H = \begin{bmatrix} -0.0018 & -0.0000 & -0.0000 \\ -0.0033 & -0.0000 & -0.0000 \\ 1.0000 & -0.0000 & 0.0000 \end{bmatrix}$$

Figura 5: Matriz H da transformação A

Transformação B:

$$H = \begin{bmatrix} 0.0000 & 0.0000 & -0.0000 \\ 0.0000 & -0.0000 & -0.0000 \\ 0.9998 & -0.0037 & 0.0200 \end{bmatrix}$$

Figura 6: Matriz H da transformação B

Transformação C:

```
H =  
  
    0.0002    0.0000   -0.0126  
   -0.3107   -0.9503   -0.0000  
    0.0087   -0.0000    0.0121
```

Figura 7: Matriz H da transformação C

Ainda nesta alínea, foi nos pedido o cálculo, para cada um dos casos, do valor médio quadrático dos erros em x e em y, assim como os correspondentes desvios-padrão, onde obtivemos os seguintes resultados:

```
a =  
  
      Media      DesvioPadrao  
      -----      -  
x    -295.33     190.89  
y    -133.33     99.701  
  
b =  
  
      Media      DesvioPadrao  
      -----      -  
x      -13276     28579  
y   -5.3438e+07    2.0716e+08  
  
c =  
  
      Media      DesvioPadrao  
      -----      -  
x     -36.667     435.84  
y     0.087376     6.0754
```

Figura 8: Média e Desvio-Padrão

Alínea 3

Nesta alínea, foram considerados os dois pares das imagens fornecidas. Nas imagens da câmara direita são visíveis dois planos mas nas imagens da câmara esquerda só um desses planos é visível e a posição desse plano varia em cada um dos pares de imagens e o objetivo é considerar o plano que é visível em ambas as imagens e estimar as duas homografias possíveis que fazem o mapeamento dos planos entre a imagem esquerda e a direita.

Para isso foi necessário inicialmente definir os pontos, no qual foram escolhidos 4 e as suas coordenadas estão a seguir representadas nas imagens:

Imagem, eftImage02 com os pontos

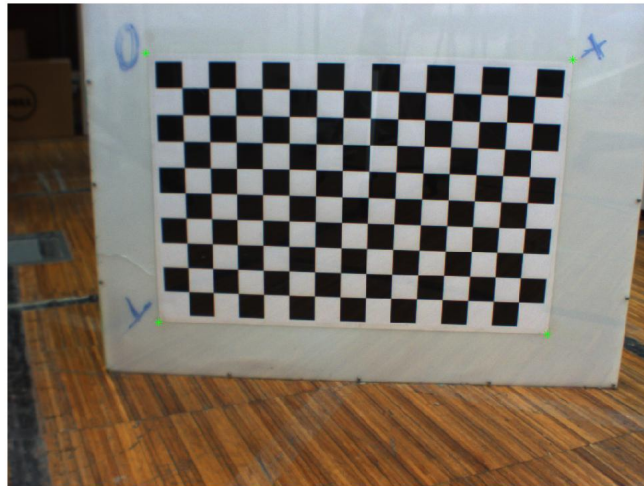


Figura 9: Pontos da câmara esquerda da imagem 02

Imagem:eftImage05 com os pontos



Figura 10: Pontos da câmara esquerda da imagem 05

Imagem:rightImage02 com os pontos

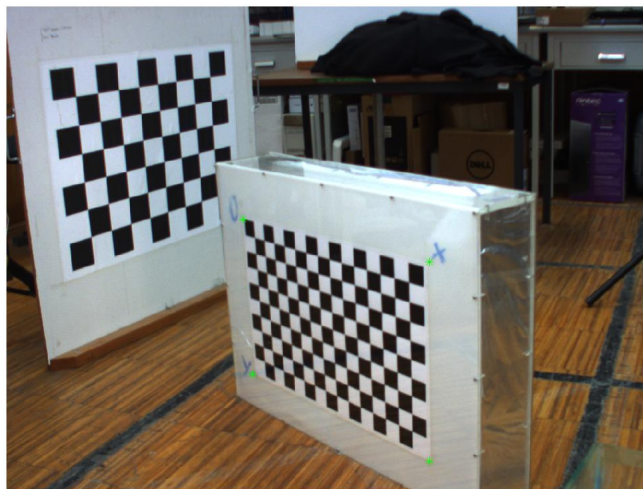


Figura 11: Pontos da câmara direita da imagem 02

Imagem: jgthImage05 com os pontos

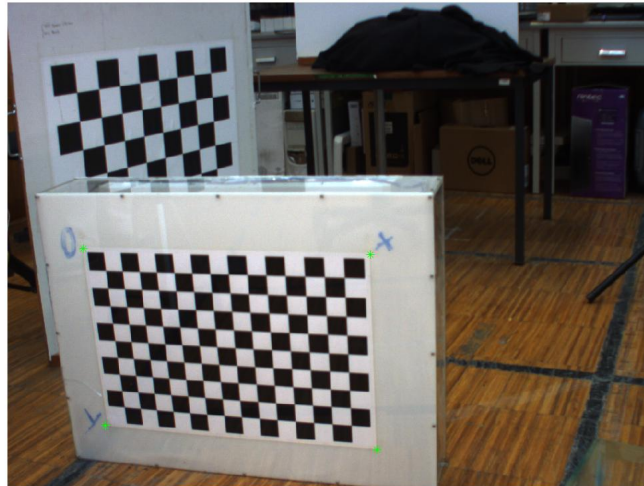


Figura 12: Pontos da câmara direita da imagem 05

Fazendo exatamente o que foi feito na alínea anterior, mas para estes pontos, obtivemos as seguintes homografias:

```
homografia_02 =  
  
    0.0012    0.0004   -0.0177  
    0.1483    0.7219    0.3410  
    0.5834    0.0016   -0.0006  
  
homografia_05 =  
  
    0.0013    0.0003   -0.0015  
    0.0033    0.7320    0.3731  
    0.5701    0.0020    0.0010
```

Figura 13: Homografias das imagens 02 e 05